

Одеський національний університет імені І. І. Мечникова
Факультет математики, фізики та інформаційних технологій
Кафедра оптимального керування та економічної кібернетики

Кваліфікаційна робота

на здобуття ступеня вищої освіти «магістр»

**«Розв’язування задач структурно-параметричної
оптимізації методами машинного навчання»**

**«Solving the problems of structural and parametric
optimization by machine learning methods»**

Виконала: здобувачка денної форми навчання
спеціальності 113 Прикладна математика
Освітня програма «Прикладна математика»
Ткачова Таїсія Максимівна

Керівник: канд. фіз.-мат. наук, доц. Страхов Є.М.

Рецензент: канд. техн. наук, доц. Мороз В.В.

Рекомендовано до захисту:

Протокол засідання кафедри

№ ____ від _____ 2023 р.

Завідувач кафедри

Захищено на засіданні ЕК № _____

Протокол № ____ від _____ 2023 р.

Оцінка _____ / _____ / _____

Голова ЕК

Одеса — 2023 р.

ЗМІСТ

	3
1	5
1.1	5
1.1.1	6
1.1.2	6
1.2	9
1.2.1	10
2	13
2.1	13
2.2	13
2.3	14
2.3.1	15
2.3.2	15
2.4	17
	20
і	21
А	23
	26

ВСТУП

Розв'язування задач структурно-параметричної оптимізації має вирішальне значення в процесах інженерного проектування. Оскільки дослідження в цій галузі мають потенціал для створення кращих підходів до моделювання та вирішення задач, які забезпечуватимуть вищу ефективність та рентабельність.

Дослідження останніх років демонструють, що оптимізація є фундаментальним аспектом проектування структур і систем у різних галузях, таких як цивільне будівництво, аерокосмічна інженерія, машинобудування тощо. Водночас традиційні методи оптимізації можуть вимагати багато часу та витрат на обчислення при вирішенні складних математичних систем керування. В свою чергу методи машинного навчання можуть допомогти прискорити процес оптимізації та потенційно знайти кращі рішення.

Практична значущість пошуку рішень в задачах оптимального керування за допомогою методів машинного навчання полягає в їх здатності забезпечувати адаптивні, ефективні та інноваційні рішення для широкого спектру застосувань, сприяючи вдосконаленню стратегій керування в складних системах.

Ця робота є вивченням та дослідженням підходів машинного навчання в контексті вирішення завдань оптимального керування.

Однією з основних тем є застосування методів машинного навчання для вирішення складнощів, пов'язаних із розв'язком задачі оптимального керування.

Однією з конкретних задач, яку розглядається, є виступає задача оптимального керування пром'яку посадки космічного корабля на поверхню Місяця.

Для досягнення поставленої мети, проводяться дослідження з побудови та оптимізації нейронних мереж за допомогою фреймворку PyTorch.

В рамках дипломної роботи було розглянуто та досліджено застосування нейронних мереж, реалізованих на основі фреймворку PyTorch, у

вирішенні задачі оптимального керування. Ключовою частиною дослідження став вибір задачі оптимального керування: задача о м'яккій посадці космічного корабля на поверхню Місяця. Особлива увага приділялася моделюванню системи таким чином, щоб нейронна мережа могла ефективно розв'язувати її та з певною точністю передбачати значення двох параметрів оптимального керування.

Результати були порівняні та проаналізовані шляхом обчислення відстані Фреше між реальними та передбаченими траєкторіями. Отримані результати підкреслюють потенційні переваги використання машинного навчання в області оптимального керування та його можливості в розв'язанні складних систем керування.

РОЗДІЛ 1

ТЕОРЕТИЧНА ЧАСТИНА

1.1

Оптимальне керування — це процес визначення закону керування або управляючу послідовності дій для заданого процесу чи об'єкта керування протягом певного періоду часу з метою мінімізації відповідної сукупності критеріїв якості системи.

Оптимальне керування та його відгалуження знайшли застосування в різноманітних сферах, включаючи аерокосмічну галузь, робототехніку, біоінженерію, управління процесами та науку про управління тощо. Через значні обчислювальні обмеження до появи цифрового комп'ютера в 1950-х роках можна було розв'язувати лише досить прості задачі оптимального керування. Поява такої потужної цифрової машини дозволила застосувати теорію та методи оптимального керування до багатьох складних проблем.

Для розв'язання задачі оптимального керування будується математична модель процесу чи об'єкта керування, що демонструє, як його поведінка змінюється з часом через зміну власного стану та керуючих факторів. Математична модель задачі оптимального керування включає в себе наступне: встановлення критерію якості управління для визначення мети керування; формулювання диференціальних або різницевих рівнянь, які описують потенційні напрямки руху керованого об'єкта; розробка рівнянь або нерівностей, що описують обмеження на використовувані ресурси. Під час розробки систем управління найбільш поширеними методами є динамічне програмування Белмана, принцип максимуму Понтрягіна та варіаційне числення. [1, 2]

1.1.1 Загальна постановка задачі оптимального керування

Розглянемо загальну математичну постановку задачі оптимального керування. Передусім визначимо керований об'єкт, еволюція якого описується системою диференціальних рівнянь:

$$\frac{dx}{dt} = \underline{x} = f(x(t); u(t); t);$$

де:

- $x(t) = (x_1(t); \dots; x_n(t)) \in \mathbb{R}^n$ - вектор стану системи (або ж фазовий вектор);
- $u \in U \subset \mathbb{R}^m$ - вектор керування, що приймає свої значення в деякій замкненій підмножині з класу кусково-неперервних функцій;
- $t \in \mathbb{R}$ - час.

В залежності від конкретних цілей задачі цільова функція може мати різний вигляд. Зазвичай це функціонал виду:

$$J = \int_{t_0}^{t_f} L(x(t); u(t); t) dt + \psi(x(t_f); t_f);$$

де:

- $L : \mathbb{R}^n \times \mathbb{R}^m \times \mathbb{R} \rightarrow \mathbb{R}$ - проміжна функція витрат;
- $\psi : \mathbb{R}^n \times \mathbb{R} \rightarrow \mathbb{R}$ - функція кінцевих витрат;
- t_0, t_f - початковий і кінцевий моменти часу відповідно.

Метою задачі оптимального керування є знаходження такої функції керування $u(t)$, яка задовольняє деяким обмеженням і мінімізує певний функціонал. Вигляд обмежень і функціоналів визначається умовами реальних задач. [3]

1.1.2 Задача про космічний корабель

Існує безліч варіацій постановки задачі про м'яку посадку космічного корабля на поверхню Місяця, це зумовлено складністю математичної моделі

системи. Врахування різноманітних факторів, таких як технічні характеристики апарату, змінність стану атмосфери, нерівномірність поверхні Місяця, обмеження на керування, призводить до різних математичних моделей. Розгляд різноманітних траєкторій, методів стабілізації та управління, а також врахування нечіткості чи невизначеності в системі також сприяє виникненню розмаїттю формулювань задачі. [4–8]

Розглянемо систему звичайних диференціальних рівнянь, що моделює динаміку простого космічного корабля в двовимірному просторі, де маса змінюватиметься точковою масою. Отже, маємо:

$$\begin{aligned} \underline{r} &= \underline{v}; \\ \underline{\dot{v}} &= c_1 \frac{u_1 \hat{i}}{m} + \underline{g}; \\ \dot{m} &= -\frac{c_1}{c_2} u_1; \end{aligned}$$

де:

- $\underline{r} = (x; y)$ - вектор положення в двовимірному просторі;
- $\underline{v} = (v_x; v_y)$ - відповідний вектор швидкості;
- m - маса космічного корабля;
- $\underline{g} = (0; g_m)$ - прискорення обумовлене гравітацією Місяця $g_m = 1.62 \text{ (м/с}^2\text{)}$;
- c_1 - константа, що визначає максимальне значення сили тяги (Н);
- $c_2 = I_{sp} g_e$ - константа, що задає ефективність ракетного двигуна через його питомий імпульс I_{sp} (Н), де $g_e = 9.81 \text{ (м/с}^2\text{)}$ позначає прискорення земного тяжіння;
- $u_1 \in [0; 1]$, $\hat{i} = [\sin \alpha; \cos \alpha]$ - керуючі змінні системи, що моделюють амплітуду та напрямок тяги вздовж напрямку $\hat{i} = [\sin \alpha; \cos \alpha]$.

1.1. Для поточної задачі параметр керування u_1 виступає показником перемикачності тяги, так що при значенні $u_1 = 0$ двигун вимкнен, а $u_1 = 1$ вказує на роботу двигуна з допустимою величиною тяги.

1.2. Параметр u_2 розглядається як другий параметр керування u_2 , оскільки ми припускаємо, що ми можемо самостійно керувати кроком космічного корабля, так як модель не містить обертальної інерції.

Тепер опишемо функціонал, що будемо мінімізувати, він же і задаватиме функцію витрат:

$$J = (1 - \alpha) \int_0^{t_f} W \frac{c_1^2}{c_2} u_1^2 dt + \alpha \int_0^{t_f} \frac{c_1}{c_2} u_1 dt;$$

де:

- $W = 1$ - коефіцієнт компромісу, який коригує функцію витрат між двома внесками;
- $\alpha \in [0; 1]$ - параметр, що визначає тип задачі; при значеннях $\alpha = 1$ ми маємо справу з задачею оптимального керування паливом, а при значеннях $\alpha = 0$ ми маємо справу з квадратичною задачею оптимального керування.

Слідуючи методу Понтрягіну, розглянемо таку функцію Гамільтона:

$$H = rV + v c_1 \frac{u_1 \hat{i}}{m} + g \left(m \frac{c_1}{c_2} u_1 + (1 - \alpha) W \frac{c_1^2}{c_2} u_1^2 + \frac{c_1}{c_2} u_1 \right);$$

де введено функції спільного стану $r(t)$, $v(t)$ та $m(t)$. Згідно з принципом максимуму, напрямок тяги має бути протилежним до v , щоб функція Гамільтона була мінімізована, отже, маємо:

$$\hat{i} = -\frac{v}{v};$$

де $v = k_1 v_1 + k_2 v_2$.

Якщо $\alpha \in [0; 1]$, оптимальне керування u_1 має наступний кінцевий вираз:

$$u_1 = \min \left\{ \max \left\{ \frac{\frac{v c_2}{m} + m}{2 W c_1 (1 - \alpha)}; 0 \right\}; 1 \right\};$$

і, якщо $\alpha = 1$:

$$u_1 = \begin{cases} 0 & S < 0; \\ 1 & S > 0; \end{cases}$$

де $S = \frac{v c_2}{m} + m$ - функція перемикання для випадку задачі оптималь-

ного управління масою.

У такий спосіб отримуємо спряжену систему:

$$\begin{aligned} -r &= 0; \\ -v &= r'; \\ -m &= \frac{c_1}{m} \hat{v} \wedge u; \end{aligned}$$

Зрештою, виходить така двоточкова крайова задача:

$$\begin{aligned} \underline{r} &= v; \\ \underline{v} &= c_1 \frac{u_1 \wedge \hat{v}}{m} + g; \\ \underline{m} &= \frac{c_1}{c_2} u_1; \\ -m &= \frac{c_1}{m^2} u_1 \quad v_{x_0} \quad x_0 t \sin + \quad v_{y_0} \quad y_0 t \cos \quad ; \end{aligned}$$

з граничними умовами r_0, v_0, m_0 при $t = 0$ та r_t, v_t, m_t при $t = t_f$.

1.2

У 1959 році Артур Самуель охарактеризував машинне навчання як "область дослідження, яка дає комп'ютерам можливість навчатися без явного програмування". Іншими словами, основна мета машинного навчання полягає у створенні таких комп'ютерних програм, які можуть автоматично вдосконалюватися з часом.

Машинне навчання вивчає різні алгоритми та статистичні моделі, які дозволяють комп'ютерним системам виконувати завдання без явного програмування. Однією з ключових переваг цього підходу є те, що алгоритми можуть навчатися на основі великої кількості даних та адаптуватися до змін в середовищі.

Машинне навчання зазвичай має справу з трьома типами задач, а саме: класифікація, регресія та кластеризація. Залежно від типу задачі можна

визначити відповідний алгоритм. Алгоритмом машинного навчання називають метод за допомогою якого система штучного інтелекту передбачає вихідні значення з заданого вхідного набору даних.

У цій роботі ми зосередимось на використанні штучних нейронних мереж для розв'язку поставленої задачі оптимального керування.

1.2.1 Нейронні мережі

У сучасному науковому та технічному дискурсі штучні нейронні мережі (ШНМ) широко застосовуються для моделювання різноманітних аспектів людської діяльності у різних галузях [9–11]. Таке активне застосування ШНМ обумовлене тим, що традиційні методи обчислень, що базуються на попередньо визначених правилах та рівняннях, можуть виявитися недостатньо ефективними чи непридатними у випадках, де правила є невідомими або змінюються в ході вирішення проблеми. Однією з визначальних характеристик ШНМ є їх здатність вчитися на досвіді та прикладах, а потім адаптуватися до мінливих ситуацій. Саме тому нейронні мережі є дуже корисними інструментами для застосування в областях, де точність традиційних методів є перешкодою. Особливо це стосується програм, які вимагають розпізнавання образів або моделювання фізичних систем [12].

Використання нейронних мереж у задачах оптимального керування представляє собою перспективний підхід, який виокремлюється із традиційних методів оптимізації. Нейронні мережі можуть ефективно моделювати складні та нелінійні залежності в системах керування, що дозволяє досягти оптимальних рішень в умовах великої невизначеності та змінних умов оточення [13–15]. При використанні нейронних мереж у задачах оптимального керування, модель може адаптуватися до змін в середовищі та взаємодіяти з різноманітними факторами. Це особливо важливо в сферах, де система має складні та непередбачувані динамічні характеристики.

Нейронні мережі також можуть бути використані для розв'язання задач оптимального керування в реальному часі, забезпечуючи більш гнучке та адаптивне управління. Їхню здатність до самонавчання та адаптації робить їх потужним інструментом у вирішенні складних задач управління

в різних галузях, таких як автоматизовані системи, робототехніка та інші області, де важливо досягати оптимальних рішень в умовах невизначеності.

Алгоритми нейронної мережі для машинного навчання натхненні архітектурою та динамікою мереж нейронів у людському мозку. Хоча ці алгоритми використовують дуже ідеалізовані моделі нейронів, проте фундаментальний принцип їхньої дії лишається незмінним: штучні нейронні мережі навчаються шляхом модифікації взаємозв'язків між їхніми нейронами. Такі мережі здатні виконувати безліч завдань з обробки інформації.

Архітектура нейронної мережі включає у себе три компоненти, відомі як шари (рис. 1.1):

- 1) Вхідний шар (input layer): цей рівень відповідає за отримання інформації (даних), сигналів, функцій або вимірювань. Кількість нейронів у цьому шарі визначається розміром вхідних даних.
- 2) Приховані шари (hidden layers): це один або кілька шарів нейронів, які знаходяться між вхідним та вихідним шарами. Кожен нейрон у прихованому шарі пов'язаний з кожним нейроном попереднього та наступного шарів.
- 3) Вихідний шар (output layer): це останній шар нейронів, який відповідає за створення та представлення кінцевих мережевих виходів, які є результатом обробки, виконаної нейронами на попередніх рівнях. Кількість нейронів у вихідному шарі зазвичай визначається кількістю класів (у випадку задачі класифікації) або кількістю вихідних змінних (у випадку регресії).

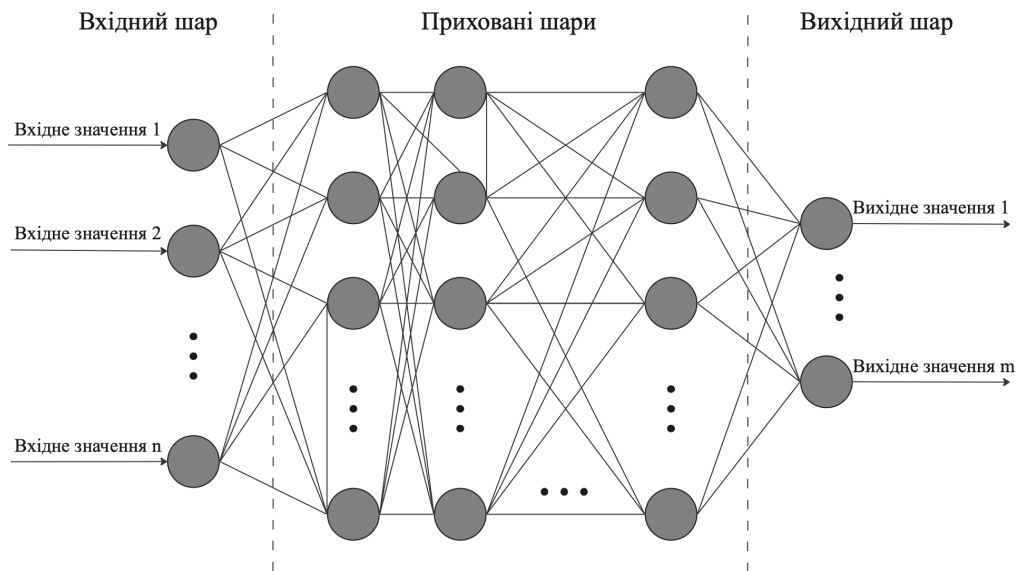


Рис. 1.1. Архітектура нейронної мережі.

У структурі нейронної мережі кожен нейрон зв'язаний з іншими нейронами в сусідніх шарах за допомогою вагових зв'язків. Вага кожного зв'язку визначає його вплив та важливість передачі сигналу між нейронами. Під час навчання ці ваги є об'єктом налаштування для оптимізації ефективності мережі.

Кожен нейрон у структурі мережі використовує функцію активації для розрахунку виходу на основі ваг та вхідних сигналів. Найбільш розповсюдженими функціями активації вважаються сигмоїда, гіперболічний тангенс (\tanh) та функція випрямленого лінійного вузла (ReLU).

Метою нейронної мережі є оптимізація деякої функції витрат. Функція витрат (loss function) є мірою помилки та використовується оптимізаційним алгоритмом для корекції ваг та підтримки збалансованого навчання мережі в процесі навчання.

РОЗДІЛ 2

ЕКСПЕРИМЕНТИ ТА РЕЗУЛЬТАТИ

2.1

Для поточної задачі використовується набір даних, що містить оптимальні траєкторії. Кожна оптимальна траєкторія складається зі списку ознак $(x; y; v_x; v_y; m)$ та пари цільових змінних $(u_1; u_2)$, де x та y задають вектор положення в двовимірному просторі, v_x та v_y - швидкості по горизонтальній та вертикальній осям відповідно, m - маса космічного корабля, а u_1, u_2 - оптимальні керуючі змінні.

Дані створені синтетично шляхом моделювання траєкторій, які входять до області ініціалізації, наведеної в таблиці 2.1.

x	y	v_x	v_y	m
[250;250]	[0;2000]	[10;10]	[30;30]	[8000;12000]

Табл. 2.1. Область ініціалізації траєкторій.

Модель навчається на 460 згенерованих траєкторій, кожна з яких складається від 90 до 890 значень. Загалом, навчальний набір даних містить 106396 рядків.

2.2

і і

У процесі реалізації ШНМ я широко застосовувала фреймворк PyTorch. PyTorch — це оптимізована тензорна бібліотека з відкритим кодом для машинного та глибинного навчання, що заснована на мові програмування Python [16]. Цей фреймворк дає змогу створювати та активно використовувати нейронні мережі за допомогою пакета torch.nn [17].

Використовуючи вищезгадану бібліотеку моделюється клас 'Net', який конструює архітектуру нейронної мережі, використовуючи повністю з'єднані

шари, та призначений для вирішення завдань моделювання і симуляції руху космічного корабля. Також варто відзначити, що метод 'forward_pass' класу 'Net' визначає проходження сигналу через мережу, із застосуванням функцій активації ReLU та tanh. Це визначення забезпечує отримання вихідних значень мережі для конкретного вхідного сигналу. Крім того, вихідний код містить метод 'forward_simulate', який моделює рух об'єкта за допомогою нейронної мережі. Він використовує вихідні значення мережі як керування для обчислення зміни стану об'єкта у просторі. Такий підхід необхідний для прийняття рішень у режимі реального часу.

Нейронні мережі піддаються навчанню до досягнення стану збіжності в рамках стохастичного градієнтного спуску (stochastic gradient descent), при цьому використовується концепція розміру пакета (batch size), що визначається кількістю тренувальних екземплярів, обраних для одного циклу проходження вперед та назад нейронною мережею, і яка становить 10.

З метою оцінки розриву між оптимальними діями та прогнозами, здійсненими нейронною мережею, використовується середньоквадратичне відхилення (mean squared error). MSE обчислюється шляхом підсумовування різниць між прогнозованими та цільовими значеннями моделі, зведенням результатів у квадрат та подальшим поділом на загальну кількість спостережень в наборі даних. Цей метричний показник сприяє аналізу ефективності нейронної мережі, однак не забезпечує повноцінного вимірювання того, наскільки ефективно виконується завдання посадки.

Основні аспекти програмної реалізації зазначені в розділі Додаток А. Результат виконання першої спроби нейронної мережі (моделі №1) занесені в таблицю 2.3.

2.3

і

і

Оптимізація моделі є однією з найскладніших проблем у пошуку розв'язання задач машинного навчання. Етапом розв'язку задач машинного навчання, завдяки якому досягається оптимальність моделі називають налаштуванням гіперпараметрів (або оптимізацією гіперпараметрів).

Ãĩĩãðĩàðàìàòðè òå ìàðàìàòðè, ùì àñòàííãèððòüñý ìãðãã ì÷-àòèì ìðìòãñó ìãã-àííý òà àèçìã-àðòü àððìòãèòóðó ìããèì. Ìðãòìèñ ¼ãĩããðç ãĩãĩ-ðèòü ìðì òå, ùì òå ìàðàìàòðè ¼ããððìüíã ðìãíýç, òìãòì èíòððìèððòü ìðìòãñ ìãã-àííý òà ìàðàìàòðè ìããèì, ùì àèèèèãàðòü ìç ìã.

Ìãèàðòóããííý ãĩĩãðĩàðàìàòðìã ¹ àãæèèãìð ÷-ãñòèèìð èãðóããííý ì-ãããíèè ìããèì ìàèèííã ìãã-àííý. Õãé ìðìòãñ ìñèýãã¹ ó çìãòìãæãíí òàèì" èíìãíãòì" çìã-ãíü ãĩĩãðĩàðàìàòðìã, ýèà ìãéèðãùã ìãèñèìçó¹ ìðìãó-èèèãíñòü ìããèì, ìííìçòð-è ìñãðããíüí àèçìã-ãíó óóíèòìð àòðàò.

2.3.1 Ìñóé ó ñìòöì

Èèãñè-íèì òà ìãéìðìñòìèè ìãòìãíì äèý ìãèàðòóããííý ãĩĩãðĩàðà-ìàòðìã ¹ àè-ãðìíèè ìñóé ó ñìòöì (grid search). Ñìòèà ìñóéó áãçó¹òüñý ìã ìñííãì äãèàðòìãíã ãìãóòèó óñìò ìæèèèèè èíìãíãòìé ãĩĩãðĩàðàìàòðìã. Ìòìì óóãòðòüñý ìããèì äèý òèò èíìãíãòìé, ì àèãèðòüñý ìãéèðãùì ãĩĩãð-ìàðàìàòðè çãããýèè ìãòìãèè àðããðãñíí" ìãããìðèè. [18]

Ìãðããããìð òàèìã ìñóéó ¹ éíã ðãòãèüíñòü. Ìñèèèèè ìòììð¹òüñý èíæìã ìæèèèè èíìãíãòìé ãĩĩãðĩàðàìàòðìã, ìðìíóñòèèè ìãéèðãùó ìãéèã ìãìæèèè. Ìããíèèè ¹ òå, ùì ÷-ãñ ìãðìãèè òìèèò ìããíðìã ìàðàìàòðìã ìæã óóèè äãèè-ãçìè, à ìòæã, èíèèèñòü ìàðàìàòðìã äèý ãñèèãæãííý ìã ìðãèèè-ì ìãìæãííý.

2.3.2 Ðãçöèüòàò ìñóéà ó ñìòöì

Äèý ìñèðãùãííý ìãðãããã-ãííý ìããèì óóè ìãðãí ìãñòóíí ãĩĩãðĩà-ðàìàòðè äèý ìòèèçãòì":

- 1) èíèèèñòü ìðèòìããèèè ðãðìã ìãéðìííí" ìãðãæì;
- 2) èíèèèñòü ìãéðìííã ó èíæííó ðãðì;
- 3) èíèèèñòü ãñò: ãñòã - òå ìãèí òèèè ìãã-ãííý, à èíèèèñòü ãñò àè-çìã-ã¹ ñèèèèèè ðãçìã äãñü ìããìð äãíèè óóãã àèèðèèòìãóããòèñý äèý ìãã-ãííý ìãðãæì.
- 4) ðãèèèñòü ìãã-ãííý (learning rate) - ìàðàìàòð, ùì èíòððìèð¹ ðìçìð èðèèã, àèèíãèèè ìã ÷-ãñ ìðìòãñó ìòèèçãòì". Áí àèçìã-ã¹, ìãñèèèèèè

ĩàðàìàòðè ìĩààèì ìĩàèììí áóòè ñèìðèàĩààì ùĩàĩ ãðààì'ìòà óóíèòì" àèòðàò.

5) ìĩóèüñ (momentum) - ìàðàìàòð, ÿèéè àèèìðèñòìáó'òüñÿ äèÿ ààñìíÿ èìèèààìü ì ìðèñèìðáíÿ ñòìðàñòè÷ìĩàĩ ãðààì'ìòìĩàĩ ñìóñéó ó àìàìĩàì-ììó ìàìðÿìéó.

Ó òàáèèòì 2.2 ìĩààì ìàðàì çìà÷áíÿ ãìĩàðìàðàìàòðìà, ñãðàä ÿèèò ìðìàìèèòèìàòüñÿ ììøóè ììòèìàèüìì" èììáìàòì".

Ãìĩàðìàðàìàòð	Ìàñèà çìà÷áíÿ
Êìèüèìñòü ìðèòìáàìèò øàðìà	1; 2; 3
Êìèüèìñòü ìáéðììà	16; 32; 64
Êìèüèìñòü áììò	5; 10; 15; 20; 25
Øàèèèìñòü ìàâ÷áíÿ	0:001; 0:005; 0:01
ììóèüñ	0:9; 0:95; 0:99

Òàáè. 2.2. Àèáìðèà çìà÷áíÿ ãìĩàðìàðàìàòðìà.

Ììòèìàèüìì ãìĩàðìàðàìàòðè äèÿ àèáðàìĩàì ìááìðó çìà÷áíÿ (ìĩààèü •2) òà ììðìáìÿèüìèé àìàèìç ñãðàäìüìèààãðàòè÷ìì" ììòèáèè ììæ ììààèÿìè ìðããñòààèáì ó òàáèèòì 2.3.

Ìĩààèü	Ãìĩàðìàðàìàòðè	MSE
• 1.	èìèüèìñòü ìðèòìáàìèò øàðìà: 3, èìèüèìñòü ìáéðììà: 16, èìèüèìñòü áììò: 10, øàèèèìñòü ìàâ÷áíÿ: 0.005, ììóèüñ: 0.9	0:000382
• 2.	èìèüèìñòü ìðèòìáàìèò øàðìà: 1, èìèüèìñòü ìáéðììà: 64, èìèüèìñòü áììò: 25, øàèèèìñòü ìàâ÷áíÿ: 0.01, ììóèüñ: 0.99	0:000031

Òàáè. 2.3. Ììðìáìÿìÿ ììààèáé.

Ààæèèâì àìäçìà÷èè, ùì ììòèììçàòìÿ ãìĩàðìàðàìàòðìà àìáñèà çìà÷ìèé àìáñìè ó ììààèüáìÿ áðàèèèáìñòì ìĩààèì.

2.4 Áíàëiç ðáçóëüòàòìá

Äëÿ îòðèìáíÿ êðàùíáí ðíçóííÿ òí÷íñòì ïáðáááá÷áíÿ ïíòèìáëü-
 íèõ çíá÷áíü êáðóááíÿ íáéðíííð íáðáæáð íáíáóíáí áðáóíáóáàòè íá èèøá
 óóíèöíð áòðàò ïíááè. Óá ïíÿñíð¹òüñÿ òèì, ùí íááíòü íáááèèè çííè á
 óíðááèííí ïæóóü ïðèçááñòè áí ááñíèðòí ííðíáí ðíøáíÿ, òíò ùí íáçíá-
 ÷íí ïíèèèè ïæóóü ïíøèðááòèñÿ ïí òðá¹èòíðí, ùí ïðèçáááá áí íáááèèè
 ááí íáííòèìáëüíèõ ïíñááíè. Íòæá, ïíñÿ îòðèìáíÿ ïíòèìáëüíèõ óíðááèííü
 íá òáñòíáíé áèáíðòì, ìè áíáííáèí çíá÷áíÿ òðá¹èòíðíé òà ïíðíáíÿ¹íí èðèáí,
 ùí áèçíá÷áòüñÿ òí÷èáèè (x; y).

Ç íáòíð íóííèè ïíáííñòì òðá¹èòíðíé ìè áèèððèñòíáó¹íí áíáñòáíü
 Óðáøá - óá ìðá ïíáííñòì ìæ èðèáèèè, ÿèà áðáóíáó¹ ðíçòàøóááíÿ òà
 ïíðÿáíè òí÷íè óçáíáæ èðèáèè [19, 20]. Ííÿñíð÷è èííóáíöíð áíáñòáíí
 Óðáøá, áíñèòü ÷áñòì áèèððèñòíáóðòü áíáèíáíð òíáí, ÿè áíñííááð áèáóèð¹
 ñíááèó íá ïíáíáöì. Èðáèíà ðóðá¹òüñÿ ïí íáííó øèÿóó, ñíááèà ïí ííðíó,
 íáèááá çáàòí çííðááòè ñáíð øáèáèíòü, ïðíòá íá ïæóóü ðóðáòèñÿ ó
 çáíðíííó íáíðÿíèó. Áíáñòáíü Óðáøá, ó öüííó èííóáèñòì, áèçíá÷á¹òüñÿ ÿè
 áíáæèíà íáèèðíðíáí ïæèèáíáí ïíáíáöÿ, áíñòáòííáí áëÿ ïðííáæáíÿ
 íáíò èðèáèè, í áíáííáíáí ñèóáó¹ íáòðèèð ñííáíñòì ìæ íèèè.

Íòðèìáí íáñòóíí ðáçóëüòàòè íá íáííó ç íá¹èòíá òáñòíáí" áèáíðèè
 (òááè. 2.4).

Ííááëü	MSE	Áíáñòáíü Óðáøá
• 1.	0:000382	8590664
• 2.	0:000031	85578592

Òááè. 2.4. Óáñò 1. Íðíáíÿíÿ çíá÷áíÿ áíáñòáíí Óðáøá.

Çáíèñíèí áðáòí÷á çíáðáæáíÿ òáèòè÷íèõ òà ïðíáííçíááíèõ òðá¹-
 èòíðíé áëÿ áíñÿáíáíÿ áíèüøí" íáí÷íñòì (ðèñ. 2.1, 2.1).

Đèñ. 2.1.Òãñò 1. Ìäãëü •1. Íðîáíýíý ðããëüíèõ òà ïãðããããã÷ãíèõ òðà¹-
êòíðíé.

Đèñ. 2.2.Òãñò 1. Ìäãëü •2. Íðîáíýíý ðããëüíèõ òà ïãðããããã÷ãíèõ òðà¹-
êòíðíé.

Īđīāíyēüíéé áíāēīç òàèòè÷íèõ òà ĩđīāíçíāāíèõ òđà'èòđíé, à òàēīæ íá÷èñēáííy āiāñòàíí Ôđåøå íà ùå äāēiēüēīfō ĩðèēēàāāõ, íàāāāíí ó đíçāiēi Āīāàòīē Á.

Ōī÷à ĩāāēi ĩđīāāííñòđóāàèè íāāēèēi çíá÷áííy ñāđāāíüíēāāđàòè÷íí ĩñèáèè, āiāñòàíü Ôđåøå âèyâèèāñy çíá÷íp. Ōå âêàçó' íà òå, ùí íāāiòü ĩðè çíàđīāæāíí òđà'èòđíí, â äāíííó ĩðèēēāāi āííà çàèèøà'òüñy íāññè-ìāēüíp. Óñóíāđå÷ çàçíá÷áííó ĩñèàçíèèó ĩðè ĩāiāíñòì äāíõ òđà'èòđíé, āàđòì ĩāēđāñèèèè, ùí ĩðèèìāí đāçóēüòàòè äāííñòđópòü ĩāđñīāèèèè âèēđèñòāííy íàòíāè ìàøèííāí íāā÷áííy ó âèđīøāíí çāāà÷ ĩñèèìāēüíāí êāđóāāííy. Ōñó ìāéáóòíí āññēiāæāííy ìàpòü ñīđyñíāóāàòèñy íà ĩñēiñøā-ííy ĩāāēāé òà āđāðóāāííy āīāàòēīāèõ òàèòđíā äèy āññyāíāííy áíēüò òí÷íèõ ĩ ññèèìāēüíèõ đāçóēüòàòìā.

ÂËÑÎÎÂËË

Ïiä ÷añ âèêííáííý äèèííííí" ðíáíòè áóéí âèâ÷áíí çàñòíñóâáííý íáé-
ðíííèõ ìáðáæ äëý âèðíðáííý íðíáéâiè ïìòèìàëüííáí êáðóâáííý ó êííòâêñòì
ì'yêí" ïíñàâèè êíñìì÷ííáí êíðâáéý ìà ïíâáððìð ìíñýöý.

Ðáçóëüòàòè äíñèìäæáííý ïiäòâáððæópòü ïìòáíöíéíí ïáðáâââè âèêíðè-
ñòáííý ìàòíáíâ ìàøèííáí ìáâ÷áííý ó ñòáðì ïìòèìàëüííáí êáðóâáííý òà
"õ çäàòííòü áòâèòèâíí âèðíðóâàòè ñèèäáíí çàââáííý êáðóâáííý. Âíáíí÷añ
áíáèìç áíáñòáííí Òðáøá ñáíâ÷àòü ïðí íáíáðíáííòü ïíâáëüøíáí óáíñèíá-
ëáííý ïíâáèì òà óðáðóâáííý áíâàòèíáèõ òàèòíðíá äëý áíñýáíáííý áíëüø
òí÷íèõ òà ïìòèìàëüíèõ ðáçóëüòàòíâ. Çíêðáíà, ïíæèèâíñòü ðíçøèðáííý íá-
ñýáó ìáâ÷áëüíí" âèáíðèè âèçíá÷à'òüñý ýè íáèí íç ïáðñíáèòèâíèõ àñíáèòíâ.
Ìíñèèáííý êíëüêíñòì ìáâ÷áëüíèõ ïðèèèâáíá ïíæá âèýáèòè çíá÷íèè áíèèâ ìà
çäàòííòü ïíâáèì áí áíëüø òí÷ííáí àâáíòóâáííý áí ðíçííáíííèõ ñòáíáðí"â
ì'yêí" ïíñàâèè. Áíâàòèíáí, ðíçáëýâ áââáííý áíëüøíáí ÷èñèà ìáðáíáòðíá, ùí
òàðáèòâðèçópòü êíñìì÷íèè êíðâááëü, ïðáññòâáéý' ñíáíð âàæèèâèè àñíáèò
äëý ïíâáëüøí" áâòàèìçàòì" ïíâáèì äëý áíëüø ïíáíáí áðáðóâáííý òíçè÷íèõ
òà òáðíí÷íèõ ïííáèèâíñòáé ñèñòáíè. Òàèíæ, óáíñèíáíííèõ áòâèòèâííòì
ïíæá âèìáâàòè óñèèâáíáííý àðòìòâèòóðè íáéðííí" ìáðáæì. Òàèì ìáððýìèè
ïíâáëüøèõ áíñèìäæáíü ðíçáëýââòüñý ýè ïìòáíöíéíí ïáðñíáèòèâííí äëý áí-
ñýáíáííý òí÷íèõ ðáçóëüòàòíâ òà ðíçøèðáííý ïíæèèâíñòáé çàñòíñóâáííý
ìàòíáíâ ìàøèííáí ìáâ÷áííý ó âèðíðáííí çàââ÷ ïìòèìàëüííáí êáðóâáííý.

ÑÏÈÑÎÊ ËÏÒÂÐÀÒÓÓÐË

1. Bellman R. E. Dynamic programming. New Jersey: Princeton University Press, Sixth Printing, 1972. 342 pp.
2. The Mathematical Theory of Optimal Processes, Division of John Wiley and Sons. / Pontryagin L. S., Boltyanskii V. G., Gamkrelidze R. V., Mishchenko E. F. New York, 1962. 362 pp.
3. Lee E. B., Markus L. Foundations of optimal control theory. New York, 1967. 576 pp.
4. Æàðìàöìéíá ÷èñéáííý òà ìàòíàè ñòèèìçàöì" / Ìáðãñòèè Ì. Ì., Ñòàíæè-öüèèé Ì. Ì., Êàìóñòýí Ì. Æ., Ëîááééíí Ð. Æ. Êè"â: ÊÍÓ ìàíí Òàðãñà Øââ÷áíèà, 2010. 121 c.
5. Wang J., Cui N., Wei C. Optimal Rocket Landing Guidance Using Convex Optimization and Model Predictive Control. Journal of Guidance, Control, and Dynamics, 2019. 15 pp.
6. Liu X. L., Duan G. R., Teo K. L. Optimal soft landing control for moon lander. Automatica, 2008. 1097 1103 pp.
7. Cheng L., Wang Z., Jiang F. Real-time control for fuel-optimal Moon landing based on an interactive deep reinforcement learning algorithm. Tsinghua University Press, 2019. 12 pp.
8. Capolupo F., Rinalducci A. Descent & Landing Trajectory and Guidance Algorithms with Divert Capabilities for Moon Landing. The Netherlands, 2023. 20 pp.
9. Ra q M. Y., Bugmann G., Easterbrook D. J. Neural network design for engineering applications. UK: Computers and Structures journal, 2001. 1541-1552 pp.
10. Adeli H. Neural Networks in Civil Engineering: 1989-2000. USA: The Ohio State University, Department of Civil and Environmental Engineering and Geodetic Science, 2001. 126-142 pp.
11. Caterini A. L., Chang D. E. Deep Neural Networks in a Mathematical Framework. Springer Briefs in Computer Science, 2018. 84 pp.
12. Swingler K. Applying neural networks: a practical guide. New York:

- Academic Press, 1996. 268 pp.
13. Antsaklis P. J. Neural Networks in Control Systems. IEEE Control Systems Magazine, 1990. 3 pp.
 14. Parisini T., Zoppoli R. Neural networks for feedback feedforward nonlinear control systems. IEEE Transactions on Neural Networks, 1994. 436-449 pp.
 15. Kooi1 J. E., Babuska R. Inclined Quadrotor Landing using Deep Reinforcement Learning. Czech Republic: IEEE/RSJ International Conference on Intelligent Robots and Systems, 2021. 8 pp.
 16. PyTorch documentation. URL <https://pytorch.org/docs/stable/index.html>
 17. PyTorch documentation: Neural Networks URL: https://pytorch.org/tutorials/beginner/blitz/neural_networks_tutorial.html
 18. Swamynathan M. Mastering Machine Learning with Python in Six Steps: A Practical Implementation Guide to Predictive Data Analytics Using Python. Apress, 2017. 358 pp.
 19. Optimized Discrete Fiechet Distance between trajectories / Devogele T., Etienne, L., Esnault M., Lardy F. France: University of Tours, 2017. 9 pp.
 20. Heiter T., Manila H. Computing Discrete Fiechet Distance. Austria: Technical University Vienna, Christian Doppler Laboratory for Expert Systems, 1994. 7 pp.

ÄÏÄÖÏË A

Ó ääííó ðíçäíëí íáääááíí ññííáíí ñêêääíáí íðíãðàíííáí êíäó, ýëí äêêíðèñòíáóòüñý äëý ðääëíçáöíí äêñíãðèíáíóàèüííí ÷ãñòèíè.

Çääà'íí êèän äëý ñèñó êíñíí-ííáí àíäðäóó. Íäðáíäððè: x_0: Íí-àòèíáà êíðäèíáòà x. y_0: Íí-àòèíáà êíðäèíáòà y. vx_0: Íí-àòèíáà ðääèäèíòü ñí x. vy_0: Íí-àòèíáà ðääèäèíòü ñí y. m_0: Íí-àòèíáà íàñà.

```
class Spacecraft:
    def __init__(self, x_0 = 0, y_0 = 1000, vx_0 = 0, vy_0 = -20, m_0 = 10000, disperse=True, alpha=0, w=1):
        self.alpha = alpha
        self.w = w
        self.x_0, self.y_0, self.vx_0, self.vy_0, self.m_0 = x_0, y_0, vx_0, vy_0, m_0
        # Íñèñ ääèòíðà ñòàíó.
        self.s_0 = (self.x_0, self.y_0, self.vx_0, self.vy_0, self.m_0)
        self.g = 1.62 # Äðääíòäòíý ñíñýöý.
        self.c1 = 50000 # Íáíäæáííý íà öýãó.
        self.c2 = 450 * 9.81 # Ìèòíèéé ñíóèüñ.
        self.vec_dynamics = np.vectorize(self.dynamics)
        self.t_char = (self.vy_0 + (self.vy_0**2 + 2 * self.g * self.y_0)**0.5) / self.g
        # Íáíäæáííý ääèòíðà ñòàíó
        self.x_range = -500, 500
        self.y_range = 0, 2100
        self.vx_range = -100, 100
        self.vy_range = -100, 50
        self.m_range = 0, self.m_0
        self.ranges = [self.x_range, self.y_range, self.vx_range, self.vy_range, self.m_range]
```

Íá-èñèòííí äèíáííèó ñèñòàíè.
Íäðáíäððè: s - ääèòíð ñòàíó (x, y, vx, vy, m), u - ääèòíð êäðóááííý (u1, u2).
Ííääððà': êíððäæ çíà-áíú, úí ïðáññòäáäëýòü äèíáííèó ñèñòàíè.

```
def dynamics(self, s, u):
    (x, y, vx, vy, m) = s
    (u1, u2) = u
    ds = [None]*5
    ds[0] = vx, ds[1] = vy
    ds[2] = self.c1*(u1/m)*sin(u2)
    ds[3] = self.c1*(u1/m)*cos(u2) - self.g
    ds[4] = -(self.c1/self.c2)*u1
    return tuple(ds)

def propagate(self, s, u, dt=0.1): # Ìðíãááó' ñèñòàíó ó ÷ãñí íà êðíè dt.
# s - ääèòíð ñòàíó (x, y, vx, vy, m), u - ääèòíð êäðóááííý (u1, u2), dt - êðíè ÷ãñó á ñáèóíáàó
    ds = self.dynamics(s, u)
    return tuple([s[i] + ds[i]*dt for i in range(len(s))])

def lunar_guidance(self):
    # äääíòíáííèéé äáíäèíðíèéé äèíáííè
    af1, af2 = 0, 0
    rf1, rf2 = 0, 0
    vf1, vf2 = 0, 0
    tgo = self.tgo = abs(3*(rf2-self.y_0)/(2*vf2 + self.vy_0))
    C01 = af1 -(6/tgo)*(vf1 + self.vx_0) + (12/tgo**2)*(rf1-self.x_0)
    C02 = af2 -(6/tgo)*(vf2 + self.vy_0) + (12/tgo**2)*(rf2-self.y_0)
    C11 = -6*af1/tgo + (6/tgo**2)*(5*vf1 + 3*self.vx_0) - (48/tgo**3)*(rf1 - self.x_0)
    C12 = -6*af2/tgo + (6/tgo**2)*(5*vf2 + 3*self.vy_0) - (48/tgo**3)*(rf2 - self.y_0)
    C21 = (6*af1/tgo**2) - (12/tgo**3)*(2*vf1 + self.vx_0) + (36/tgo**4)*(rf1-self.x_0)
    C22 = (6*af2/tgo**2) - (12/tgo**3)*(2*vf2 + self.vy_0) + (36/tgo**4)*(rf2-self.y_0)
    self.Cs = ((C01, C11, C21), (C02, C12, C22))
```

Äíáíííäèòííí ïðèñèíðáííý ððá'èòíðíí

ÄÏÄÄÖÏÊ Á

Ó öüïíó äïäàòéó ïðääñòääëáíí ïðïáíýëüíí äðàòíèè òà òàáèèöí, ýèí äïïáíððòü ïñííáíéé äíñò äññèíäæáíý, ðíçèðèâð÷è ääòàèí òà äàðíàöíí á íá÷èñðâàèüíèö äàíèö.

Ïäáèü	MSE	Äíäñòàíü Öðåðå
• 1.	0:000382	837.07934
• 2.	0:000031	82354272

Òàáè. 2.5. Òáñò 2. Ïðïáíýíý çíá÷áíý äíäñòàíí Öðåðå.

Ðèñ. 2.3. Òáñò 2. Ïäáèü •1. Ïðïáíýíý ðäàèüíèö òà ïððääà÷áíèö òðà¹-èòðíé.

Đèñ. 2.4.Òåñò 2. Ìřääëü •2. Ìřðíáíýíý đääëüíèõ òà řáđääáà÷áíèõ òđà¹-
êòíđíé.

Ìřääëü	MSE	Âiãñòàíü Ôđåøå
• 1.	0:000382	183256941
• 2.	0:000031	183256634

Òàáë. 2.6. Óåñò 3. Ìřðíáíýíý çíà÷áíý áiãñòàíü Ôđåøå.

Đèñ. 2.5.Òãñò 3. Ìřääëü •1. Ířđíârýířý đãàëüíèõ òà ïãđãääà÷áíèõ òđà¹-
êòîđié.

Đèñ. 2.6.Òãñò 3. Ìřääëü •2. Ířđíârýířý đãàëüíèõ òà ïãđãääà÷áíèõ òđà¹-
êòîđié.

Îäåü	MSE	Âñàü Óåå
• 1.	0:000382	110131608
• 2.	0:000031	103430964

Òåä. 2.7. Óåñ 4. Îäîäîü çá÷áü äñàü Óåå.

Ðèñ. 2.7. Óåñ 4. Îäåü •1. Îäîäîü äåüüèè à äååå÷áèè òä¹-èèèé.

